



Raport

z badań poziomu natężenia pola elektrycznego
w otoczeniu stacji bazowej:

JEL3105

na podstawie sprawozdania 42/367/21/OS udostępnionego przez Radiolog S.C. Tadeusz
Piotrowski i Janusz Rzepka

Laboratorium prowadzące badania

Radiolog S.C. Tadeusz Piotrowski i Janusz Rzepka
ul. Dworska 46
71-026 Szczecin
91 483 21 15
radiolog_sc@poczta.onet.pl

Zleceniodawca badań

P4 Sp. z o.o.

02-677 Warszawa
790 500 500
kontakt@play.pl

Nr akredytacji: AB 413

Data wydania sprawozdania: 22.10.2021

Raport zawiera wybrane elementy sprawozdania i służy wyłącznie obrazowemu przedstawieniu informacji o danej instalacji. Raport nie może być wykorzystywany w postępowaniach administracyjnych.

Informacje ogólne

Zgodność z metodyką RMK: Tak

Ograniczenia: Na podstawie art. 122a ust. 1b ustawy Prawo ochrony środowiska (t.j. Dz.U. z 2020 r., poz. 1219, 1378, 1565, 2127, 2338, z 2021 r. poz. 802, 868, 1047, 1162, 1535.), pomiary PEM w lokalach mieszkalnych i użytkowych zlokalizowanych w obszarze pomiarowym badanej stacji bazowej nie zostały przeprowadzone.

Wykorzystanie w obszarze regulowanym: Tak

Przedmiot badań

Identyfikator stacji w UKE	JEL3105
Operator	P4 Sp. z o.o.
Współrzędne	15,7602220; 50,7969440
Rodzaj pracy	ciągła
Rodzaj wytwarzanego pola	stacjonarne

Miejsce badań

Otoczenie stacji bazowej JEL3105 w lokalizacji Miłków, dz. nr 543/4, obręb 0004, Brzezie Karkonoskie.

Cel badań

1. Zweryfikowanie zgodności z wymaganiami rozporządzenia Ministra Zdrowia z dnia 19 grudnia 2019 r.

Opis stacji bazowych

Tabela 1: Opis anten badanych stacji bazowych

Lp.	Identyfikator stacji w UKE	Typ Producent anteny	Azymut	H	EIRP	Pasmo	Tilt	Tilt w trakcie pomiarów
			[°]	[m]	[W]	[MHz]	[°]	[°]
1	JEL3105	A704517R0v06 Huawei	10	58,50	4023	UMTS 900	0,0 - 10,0	5,0
2		ADU4518R8v06 Huawei	10	58,50	9732 9732	LTE 800 LTE 1800	0,0 - 10,0 2,0 - 10,0	5,0 5,0
3		ADU4518R8v06 Huawei	10	58,50	3694	LTE 800	0,0 - 10,0	5,0
4		A704517R0v06 Huawei	130	58,50	4023	UMTS 900	0,0 - 10,0	5,0
5		ADU4518R8v06 Huawei	130	58,50	9732 9732	LTE 800 LTE 1800	0,0 - 10,0 2,0 - 10,0	5,0 5,0
6		ADU4518R8v06 Huawei	130	58,50	3694	LTE 800	0,0 - 10,0	5,0
7		A704517R0v06 Huawei	260	58,50	4023	UMTS 900	0,0 - 10,0	5,0
8		ADU4518R8v06 Huawei	260	58,50	9732 9732	LTE 800 LTE 1800	0,0 - 10,0 2,0 - 10,0	5,0 5,0
9		ADU4518R8v06 Huawei	260	58,50	3694	LTE 800	0,0 - 10,0	5,0

Warunki pomiarów

Pomiary w wyznaczonych punktach wykonano w następujących warunkach:

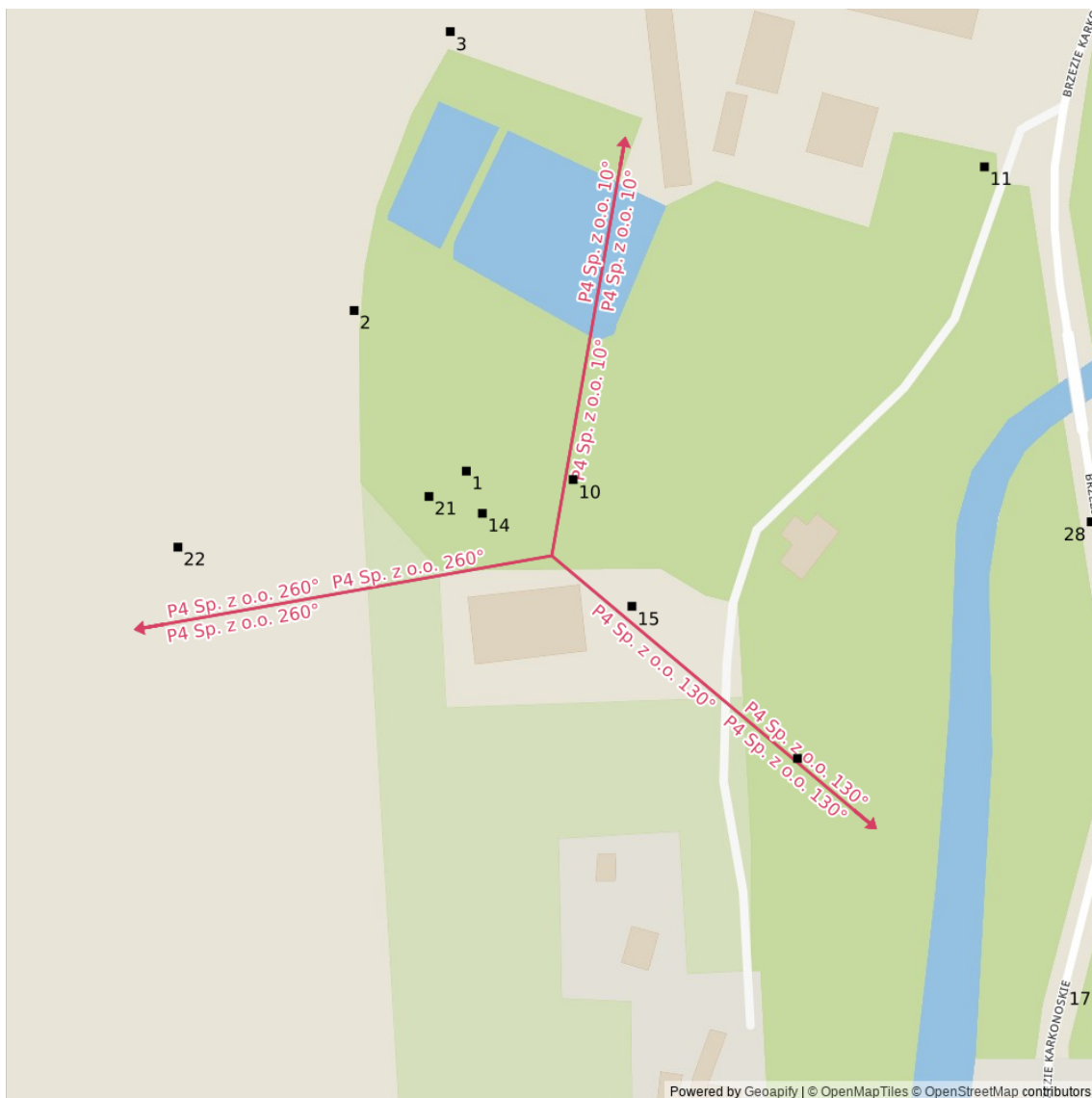
22.10.2021 11:50-14:30			
Warunki środowiskowe	Temperatura [°C]	Wilgotność [%]	Opady
Minimalna	9,8	62,3	brak
Maksymalna	10,7	65,5	

Aparatura

Tabela 2: Aparatura

MIERNIKI I SONDY					
Lp.	Typ / Nazwa	Model	Producent	Próg detekcji	Świadectwo wzorcowania
1a	miernik	SMP2	SMP		LWiMP/W/257/20 z dn. 25.09.2020 wydane przez Laboratorium Wzorców i Metrologii Pola Elektromagnetycznego Instytutu Telekomunikacji, Teleinformatyki i Akustyki Politechnika Wrocławska
1b	sonda	WPF8 HP	SMP	0,50	
2a	miernik	NBM- 550	Narda		LWiMP/W/050/21 z dn. 17.02.2021 wydane przez Laboratorium Wzorców i Metrologii Pola Elektromagnetycznego Instytutu Telekomunikacji, Teleinformatyki i Akustyki Politechnika Wrocławska
2b	sonda	EF6091	Narda	0,50	
POZOSTAŁE					
Lp.	Typ / Nazwa	Model	Producent	Świadectwo wzorcowania	
3	termohigrometr	H560	EMD Systemy Pomiarowe	2951.1-M54 -4180-1501/15 z dn. 19.08.2015 wydane przez GUM w Warszawie	

Lokalizacje pionów pomiarowych



Rysunek 1: Plan terenu

Dodatkowe informacje o punktach

punkt 5: w budynku mieszkanie nr 10, III kondg. pokój w otwartym oknie

Wyniki pomiarów szerokopasmowych

Tabela 3: Zestawienie lokalizacji pionów pomiarowych oraz wyników pomiarów natężenia pola elektrycznego, pomiary szerokopasmowe

Nazwa	Data	Współrzędne geograficzne	E	WM _E	H	WM _H
		[°]	[$\frac{V}{m}$]		[$\frac{A}{m}$]	
1	22.10.2021	15,7597778 50,7972222	1,06	0,038	0,003	0,039

Ciąg dalszy na następnej stronie

Tabela 3: Zestawienie lokalizacji pionów pomiarowych oraz wyników pomiarów natężenia pola elektrycznego, pomiary szerokopasmowe (c.d.)

Nazwa	Data	Współrzędne geograficzne	E	WM _E	H	WM _H
		[°]	[$\frac{V}{m}$]		[$\frac{A}{m}$]	
2	22.10.2021	15,7591944 50,7977500	< 1,06	< 0,038	< 0,003	< 0,039
3	22.10.2021	15,7596944 50,7986667	< 1,06	< 0,038	< 0,003	< 0,039
4	22.10.2021	15,7603056 50,7993333	< 1,06	< 0,038	< 0,003	< 0,039
5	22.10.2021	–	3,17	0,113	0,008	0,115
6	22.10.2021	15,7606667 50,8003611	1,27	0,045	0,003	0,046
7	22.10.2021	15,7604444 50,8012222	2,75	0,098	0,007	0,100
8	22.10.2021	15,7610833 50,8018056	1,90	0,068	0,005	0,069
9	22.10.2021	15,7612778 50,8024444	1,69	0,060	0,004	0,061
10	22.10.2021	15,7603333 50,7971944	< 1,06	< 0,038	< 0,003	< 0,039
11	22.10.2021	15,7624722 50,7982222	< 1,06	< 0,038	< 0,003	< 0,039
12	22.10.2021	15,7653056 50,7991667	< 1,06	< 0,038	< 0,003	< 0,039
13	22.10.2021	15,7674722 50,7998333	< 1,06	< 0,038	< 0,003	< 0,039
14	22.10.2021	15,7598611 50,7970833	1,06	0,038	0,003	0,039
15	22.10.2021	15,7606389 50,7967778	1,27	0,045	0,003	0,046
16	22.10.2021	15,7615000 50,7962778	< 1,06	< 0,038	< 0,003	< 0,039
17	22.10.2021	15,7630556 50,7955278	< 1,06	< 0,038	< 0,003	< 0,039
18	22.10.2021	15,7640556 50,7949444	< 1,06	< 0,038	< 0,003	< 0,039
19	22.10.2021	15,7650278 50,7944722	< 1,06	< 0,038	< 0,003	< 0,039
20	22.10.2021	15,7665833 50,7936667	< 1,06	< 0,038	< 0,003	< 0,039
21	22.10.2021	15,7595833 50,7971389	< 1,06	< 0,038	< 0,003	< 0,039
22	22.10.2021	15,7582778 50,7969722	1,06	0,038	0,003	0,039
23	22.10.2021	15,7568056 50,7968333	1,27	0,045	0,003	0,046

Ciąg dalszy na następnej stronie

Tabela 3: Zestawienie lokalizacji pionów pomiarowych oraz wyników pomiarów natężenia pola elektrycznego, pomiary szerokopasmowe (c.d.)

Nazwa	Data	Współrzędne geograficzne	E	WM _E	H	WM _H
		[°]	[$\frac{V}{m}$]		[$\frac{A}{m}$]	
24	22.10.2021	15,7551389 50,7970000	1,69	0,060	0,004	0,061
25	22.10.2021	15,7538611 50,7965278	1,48	0,053	0,004	0,054
26	22.10.2021	15,7523889 50,7963611	2,12	0,076	0,006	0,077
27	22.10.2021	15,7509444 50,7961944	2,54	0,091	0,007	0,092
28	22.10.2021	15,7630278 50,7970556	< 1,06	< 0,038	< 0,003	< 0,039
29	22.10.2021	15,7562778 50,7947500	< 1,06	< 0,038	< 0,003	< 0,039
30	22.10.2021	15,7551389 50,7995556	< 1,06	< 0,038	< 0,003	< 0,039

Podsumowanie

Na podstawie wyników pomiarów pola elektromagnetycznego przedstawionych w niniejszym raporcie o nr 42/367/21/OS opracowanym przez Radiolog S.C. Tadeusz Piotrowski i Janusz Rzepka stwierdza się, że w otoczeniu stacji bazowej JEL3105 dopuszczalne poziomy pól elektromagnetycznych w środowisku, określone w przepisach wydanych na podstawie art. 122 ust. 1 ustawy z dnia 27 kwietnia 2001 r. – Prawo ochrony środowiska uznaje się za **dotrzymane**. Udokumentowano, że w żadnym pionie pomiarowym wartości wskaźnikowe WM_E oraz WM_H nie przekroczyły 1.

Osoby odpowiedzialne

Wykonanie pomiarów: b.d.

Opracowanie sprawozdania: b.d.

Autoryzacja sprawozdania: Tadeusz Piotrowski (kierownik ds. jakości)